

## 用<sup>31</sup>P NMR研究硫代磷酸酯水解反应历程

张秋禹 严宝珍\* 郭洪猷 王作新 徐广智

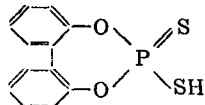
(北京化工学院应化系, 北京 100029) (中国科学院 化学所)

关键词: 水解反应历程 <sup>31</sup>P NMR 硫代磷酸酯

磷酸酯的水解反应是一类较为重要的反应, 了解这类反应历程及机理对研究农药的毒性、环境保护、及指导农药的生产与合成具有十分重要的意义。

<sup>31</sup>P NMR 灵敏度高, 化学位移范围宽, 偶合常数大<sup>[1]</sup>。<sup>31</sup>P NMR 的化学位移对于分子中磷原子的价态、与磷原子直接相连的原子或基团的类型、数量、性质及构型的变化十分敏感。是研究有关含磷化合物结构问题的有效手段之一, 因此本文采用<sup>31</sup>P NMR 方法研究了硫代磷酸酯的水解反应历程。

本文所研究的化合物是一种新合成的含七元环的二硫代磷酸酯。其结构式如下:



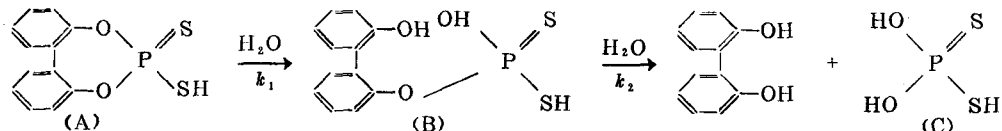
### 1 实验部分

<sup>31</sup>P NMR 谱的测定在 Bruker 公司 AC-80 NMR 波谱仪上进行。<sup>31</sup>P 的共振频率为 32.442 MHz, 波谱宽度为 5154.6 Hz, 脉冲宽度为 5.8 μs。文中所测的磷酸酯的<sup>31</sup>P 化学位移均以质量分数为 0.85 H<sub>3</sub>PO<sub>4</sub> 的 D<sub>2</sub>O 溶液作外标而得。遵从 IUPAC 通用规则<sup>[2]</sup>高场的位移值为负, 低场的位移值为正。

配制硫代磷酸酯的饱和二氯六环溶液进行<sup>31</sup>P NMR 测试。向核磁管中加入 D<sub>2</sub>O, 启动自编自动程序, 开始自动定时测定。

### 2 结果与讨论

#### 2.1 硫代磷酸酯水解反应历程的初步推测



1990-09-28收到初稿, 1991-03-19收到修改稿。 中国科学院自然科学基金资助项目

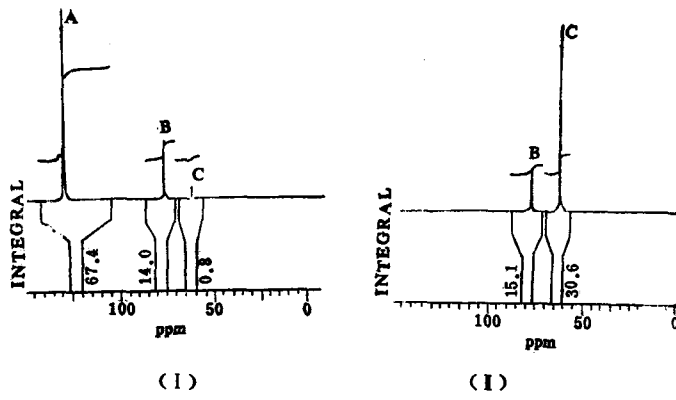
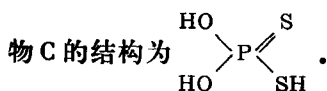


图1 分别为A化合物在108分(I)和50小时(II), 在二氧六环溶液中水解时的<sup>31</sup>P NMR谱  
Fig.1 32,442MHz <sup>31</sup>P NMR spectra observed during hydrolysis process of (A) in dioxane solution after 108min (I) and 50hr (II), respectively

从谱图1可以很清楚地看到,随着反应的进行<sup>31</sup>P NMR谱中峰的数量发生了变化,各个峰的积分高度也相应地发生了变化。在谱图中A的单峰强度很大。随着反应的进行,B峰强度逐渐增强,C峰也出现了。到反应进行相当长的时间后,A峰几乎完全消失,B峰也变得很小,只有C峰强度很大。由此我们可以得出如下结论:

加入水后,水解反应即开始进行,在较短的时间内,就生成了产物B,随着水解的继续进行,B又继续水解为C,即整个水解过程分两步进行。这就证实了前面关于水解步骤的推断。

未进行水解反应前的原始物A在二氧六环水溶液中的<sup>31</sup>P化学位移为128ppm。中间产物B的<sup>31</sup>P化学位移值为75.8ppm。最后产物C的化学位移值为60.7ppm。从文献中查得<sup>[3]</sup> [S<sub>2</sub>PO<sub>2</sub>]<sup>3-</sup>中<sup>31</sup>P的化学位移为61ppm,与我们产物C的化学位移值相吻合。因此最后一步产



中间产物B的化学位移较原始物A向高场移动。从理论上讲,可遵照 Ietcher 和 Vanwazer 提出的下列公式来计算<sup>31</sup>P 的化学位移<sup>[2]</sup>。

$$\Delta\delta = -C\Delta\chi_x + K\Delta n_\pi + A\Delta\theta$$

式中,  $\Delta\chi_x$  是P-X键电负性的变化,  $\Delta n_\pi$  是 $\pi$ 电子重叠的变化,  $\Delta\theta$  是 $\sigma$ 键角的变化。 $C$ ,  $K$ ,  $A$  为常量。对于磷酸酯化合物A来说,当水解时,七元环开裂, —OH取代—OPh接在P上,致使 $\sigma$ 键之间的夹角增大。同时,与P直接相连的键的基团电负性减小,这一切皆使水解产物B较A在高场。实验结果完全证实了前文关于水解反应历程的推断。A的<sup>31</sup>P化学位移为128ppm,而B的<sup>31</sup>P化学位移值仅为75.8ppm。

当加入高氯酸作催化剂后,水解反应过程的速度明显加快了。从而可以得到有关水解反应速度的信息。

## 2.2 硫代磷酸酯的<sup>31</sup>P NMR溶剂效应

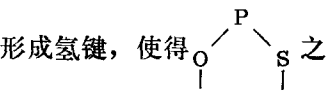
表1为硫代磷酸酯在不同介质中随水解进行的化学位移。

表1 在不同介质中水解进程 (A) 的化学位移

Table 1 The chemical shift during hydrolysis process of (A) in different media

solution	chemical shift (ppm)		
	$t_1$ (0.5 hour)	$t_2$ (4 hours)	$t_3$ (8 hours)
dioxane	99.1	99.1	99.1
dioxane + $H_2O$ ( $pH \approx 7$ )	128.6	127.2	125.0
dioxane + $HCl$ ( $pH \approx 3$ )	122.5	120.4	120.4
dioxane + $NaOH$ ( $pH \approx 10$ )	130.2	131.7	131.8

从表1可知，当向硫代磷酸酯的二氧六环溶液中加入水后，由于  $H_2O$  与  $-SH$

形成氢键，使得  之间的键角变小，化学位移向低场位移。随着水解过程的进行， $H_2O$  量逐渐减小，这

种作用趋于降低，所以化学位移又稍向高场移动。在酸性条件下，由于  $H^+$  更易与  $H_2O$  形成氢键，所以使得  $-SH$  与  $H_2O$  形成的氢键机会减小。化学位移的变化没有中性条件下明显。而在碱性条件下， $OH^-$  更容易与  $-SH$  形成氢键，此时 A 的化学位移处在最低场，可达到 131.8 ppm。

氢键的形成，不但能引起磷酸酯分子中某些键角的变化，而且还可以引起 P 核周围电子云密度的变化，从而改变  $^{31}P$  的化学位移值<sup>[4]</sup>。为此我们测定了硫代磷酸酯在几种不同溶剂中的  $^{31}P$  NMR 谱，实验结果如表2 所示。从表2 数据可以看出，能够与 A 形成氢键的溶剂，象  $H_2O$  和  $CH_3CN$ ，都使得  $^{31}P$  的化学位移加大，而不能形成氢键的溶剂对  $^{31}P$  的化学位移影响不大。

### 3 结论

用  $^{31}P$  NMR 方法可以很直观地得到反应历程的信息，且较其它方法方便，可靠。

### 参 考 文 献

- 1 David G G. Phosphorus-31 NMR principles and application. s. l., Academic press, 1984. 167
- 2 Fast C, Schmidt K J. Phosphoraureaster in chemic der pflanzenschutz undschadlingsbekämpfungsmittel, Wegler R Ed. Berlin, Springer-Verlag. 1970. 246
- 3 Crutchfield M M, Dungan C H, Letcher J H, Mark V and Van Wazer J R. Top. Phosphorus. Chem., 5, "P-31 NMR". N.Y.: Interscience published., 1967. 1—487
- 4 Lerner D B, Kearns D R. J. Am. Soc., 1980, 102, 7611

# STUDIES ON THE HYDROLYSIS MECHANISM OF THIOPHOSPHATE BY $^{31}\text{P}$ NMR

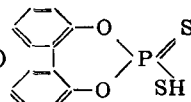
Zhang Qiuyu Yan Baozhen\* Guo Hongyou Wang Zuoxin

(Beijing Institute of Chemical Technology, Beijing 100029)

Xu Guangzhi

(Institute of Chemistry, Academica Sinica)

## ABSTRACT

$^{31}\text{P}$  NMR spectra during the hydrolysis process of thiophosphate (A) 

In neutral, acid and basic media were recorded. By analyzing the  $^{31}\text{P}$  NMR date obtained, hydrolysis mechanism was confirmed. Information of hydrolysis rate in different media was also obtained. In addition, the solvent effects of  $^{31}\text{P}$  NMR of thiophosphate were investigated in detail.

**Keywords:** Hydrolysis mechanism,  $^{31}\text{P}$  NMR, Thiophosphate